

大氣污染地域 適應 樹種 選拔에 關한 研究

A Study on the Selection of Adaptable Tree in Air Pollution Area

朴 旼 澈

韓國科學技術研究院 環境研究센터
(원고접수 : 1991. 3. 11)

Wan Cheol Park

Environmental Research Center/KIST. Seoul 136-791, Korea

(Received 11, March 1991)

Abstract

The study was performed to select a adaptable tree species under stressed field conditions where there are a industrial plants operating with a number of smoke stacks emitting pollutants, such as hydrogen fluoride and sulfur dioxide. As a result of the study, a tree species selected are due to construct a forest belt in a zones near industrial plants to reduce the concentrations of air pollutants.

The concentrations of atmospheric hydrogen fluoride and sulfur dioxide were very higher at experimental sites near industrial plants (air-pollution sites) than at control site. The leaves of 7 tree species grown at air pollution sites contained more sulfur and, specially, fluorine than at those control site. Among the tested tree species, *Ligustrum japonicum* Thunb. and *Euonymus japonica* Thunb. grown at air pollution sites did not at all break out a foliar injury but appeared to be healthy, as well as those grown at control site. *Acer pseudo-sieboldianum* Kom., *Pinus virginiana* Mill., *Larix leptolepis* Gordon., *Pinus koraiensis* Sieb. et Zucc., *Pinus strobus* L., *Picea abies* Karst and *Ligustrum obtusifolium* Sieb. et Zucc., however, showed a severe fluoride-type foliar injury such as necrosis on tip or margin of leaves, etc. Fluorine found in leaves was proved to be correlated to sulfur found in leaves whereas index of foliar injury hadn't a good correlation to pollutants found in leaves.

It appears that *Euonymus japonica* Thunb., *Ligustrum japonica* Thunb., *Platanus acerifolia* Willd., *Chamaecyparis pisifera* Endl., *Populus tomentiglandulosa* T. Lee and *Sophora japonica* L. grown at both experimental sites had a high value of percent survival whereas *Pinus virginiana* Mill., *Pinus koraiensis* Sib. et Zucc., *Koelreuteria paniculata* Laxm. and *Alnus hirsuta* Rupr. had an extremely low value of that.

In comparison with control site, the percent tree height increments in *Chamaecyparis pisifera* Endl., *Ligustrum japonicum* Thunb., *Quercus acutissima* Carruth., *Populus tomentiglandulosa* T. Lee, *Pinus thunbergii* Parl and *Euonymus japonica* Thunb. and the percent upmost root diameters in *Populus tomentiglandulosa* T. Lee, *Chamaecyparis pisifera* Endl., *Euonymus japonica* Thunb., *Ligustrum japonicum* Thunb., *Betula platyphylla* var. *japonica* Hara and *Pinus thunbergii* Parl. cultivated at air polluted sites showed very high value above 90%, respectively. A significant negative correlation ($r = -0.662$) was recognized between the index of foliage

injury and the percent collective character, which was the mean of tree characters such as percent survival, percent tree height increment and percent upmost root diameter increment which compared to those at air polluted site with those at control site.

Based on the percent collective character *Ligustrum japonicum* Thunb., *Euonymus japonica* Thunb., *Chamaecyparis pisifera* Endl., *Populus tomentiglandlosa* T. Lee, *Betula platyphylla* var. *japonica* Hara and *Platanus occidentalis* L. have large value about 90%, respectively. Therefore, the results indicate that this tree species are adaptable species in air polluted regions. For better understanding of the adaptable tree species, further studies concerning the effects of various air pollutants on the tree growth are required.

1. 緒論

大規模工業團地에 입주한 산업체의 생활활동으로 인해 많은 양의 대기污染物이排出되어 工業團地周邊의 農作物栽培環境 및 住民의 生活環境을 크게 惡化시켜 農作物의 生產性低下는 물론이고(박완철 등, 1987; 신웅배 등, 1989) 住民의 健康에도 큰 危害要因이 될 수도 있다. 따라서 工業團地周邊의 대기污染度를 줄일 수 있는 方法開發의 일환으로 대기污染物의 發生源과 그 周邊地域을 遮斷시켜 物理的인 대기污染物의 遮斷效果와 生物學的인 대기污染物의 吸收效果를 가져올 수 있는 樹林帶造成에 필요한 基本的인 研究로서 國內에 植栽되고 있는 일부 樹種을 우리나라 工業團地中 規模가 가장 크고 대기污染物 發生量이 가장 많은 蔚山工業團地 地域의(申應培 등, 1989) 樹林帶造成 가능 地域에 植栽하여 이 地域에 가장 適應性이 높은 樹種을 選拔하므로서 蔚山地域뿐만 아니라 他工業團地 地域에서도 대기污染 適應性 및 抵抗性 樹種을 이용한 樹林帶造成으로 工業團地 地域의 대기污染度를 低下시켜 農作物의栽培環境 및 住民의 生活環境改善을 誘導하는데 필요한 基礎的인 研究의 일환으로 本 實驗을遂行하였다.

2. 材料 및 方法

2.1 實驗對象地域

대기污染地域(大氣污染影響地域) 實驗圃場은 蔚山工業團地에 입주한 各種 產業體로부터 排出되는 대기污染物의 集中的인 影響을 받고, 工團周邊地域과 遮斷用 樹林帶造成이 容易할 것으로 判斷되는 蔚山市 南區 麗川洞 所在 大질산에 設置하였으며, 대기污染의 影響을 받지 않고 大氣污染地域과 諸般環境條件이 비슷한 梁山郡 西生面 나사리의 野山에 對照 實驗圃場을 設置하였다. 大氣污染地域에는 약

150 m 간격으로 3개의 實驗圃場을 設置하고, 對照地域에는 1개의 實驗圃場을 設置하였다.

實驗圃場의 土壤條件은 표 1과 같이 無機養料의 含量이나 重金屬의 含量은 大氣污染地域과 對照地域間에 큰 差가 없었으며, 弗素含量은 大氣污染地域에서 다소 높은 傾向을 보였으나 Hansen et al. (1958)과 Wellburn(1988)에 의하면 植物의 뿌리를 통한 弗素의吸收는 거의 認定되지 않는다고 하였고, 本 實驗地域에서 測定된 260~490 ppm의 弗素含量은 自然狀態의 土壤中의 含量인 20~500 ppm範圍내에 있으므로(Wellburn, 1988) 土壤중의 弗素에 의한 나무의 生育障礙나 葉中 弗素含量의 差는 없을 것으로 判斷된다.

2.2 栽培方法

實驗對象 樹種과 移植時의 苗齡은 표 2와 같고, 移植은 1988년 4월 5일 各 實驗圃場에 樹種別 10本(總 40本: 大氣污染 實驗圃場 30本, 對照 實驗圃場 10本)을 大氣污染의 影響을 充分히 받도록 하기 위하여 사방 1m의 樹間距離로 實施하였다.

2.3 調査方法

植栽後 生存率은 5月부터 10月까지 5回에 걸쳐 月 1回씩 每月 15日경 調査하였으며, 稍長은 5, 6, 7, 8, 10月까지 4回에 걸쳐 月 1回씩 生存率의 調査時期와同一時期에 모든 植栽 樹種을 對象으로 調査하였다. 그리고 可視的葉被害指數는 5, 6, 7, 8月에 月 1회씩 他形質과 同一時期에 調査하였으며, 調査方法은 着生한 각葉의 被害程度를 10%, 20%, ……, 100%로 區分하여 다음 方法에 의하여 算定하였다.

$$\text{葉被害指數} = (1 \times 10\% \text{ 被害葉數} + 2 \times 20\% \text{ 被害葉數} + \dots + 10 \times 100\% \text{ 被害葉數}) / \text{全體葉數}$$

大氣中의 汚染指標인 SO_x나 F는 植栽後부터 各種特性들의 調査가 完了된 10月 中旬까지 7回에 걸쳐 月中 濃度를 測定하였으며, 植物體내 汚染指標인 葉內 黃 및 弗素含量은 10月의 調査完了期에 1回 測定하였으며, 各種 汚染指標의 分析方法은 표 3과 같다.

Table 1. Chemical properties of experimental soil.

Site	pH	OM (%)	T-N (%)	T-P (ppm)	K ₂ O ₅ (%)	S (ppm)	Mg (ppm)	Cd (ppm)	As (ppm)	Cu (ppm)	Fe (ppm)	F (ppm)
P	4.17	11.2	0.290	199	0.12	262	770	1.05	0.48	4.39	1.70	490
C	4.66	10.3	0.164	113	0.16	213	803	1.30	0.57	4.08	2.48	260

P : Pollution site

C : Control site

Table 2. Experimental tree species.

No.	Seedling age (years)	Korean name	Botanical name
1	2	모 감 주 나 무	<i>Koelreuteria paniculata</i> Laxm.
2	2	팽 나 무	<i>Celtis sinensis</i> Pers.
3	2	당 단 풍	<i>Acer pseudo-sieboldianum</i> Kom
4	2	양 벼 즘 나 무	<i>Platanus occidentalis</i> L.
5	1	자 작 나 무	<i>Betula platyphylla</i> var. <i>japonica</i> Hara
6	2	회 화 나 무	<i>Sophora japonica</i> L.
7	2	자 귀 나 무	<i>Albizzia julibrissim</i> Durazz
8	2	중 국 둘 피 나 무	<i>Pterocarya stenoptera</i> DC.
9	3	족 세 비 싸 리	<i>Amorpha fruticosa</i> L.
10	2	소 나 무	<i>Pinus densiflora</i> Sieb. et Zucc.
11	2	곰 솔	<i>Pinus thunbergii</i> Parl.
12	2	리 기 다 소 나 무	<i>Pinus rigida</i> Mill.
13	2	버 지 니 아 소 나 무	<i>Pinus virginiana</i> Mill.
14	2	일 본 일 갈 나 무	<i>Larix leptolepis</i> (Sieb. et Zucc.) Gordon
15	2	잣 나 무	<i>Pinus koraiensis</i> Sieb. et Zucc.
16	3	스 트 로 브 잣 나 무	<i>Pinus strobus</i> L.
17	3	독 일 가 문 비	<i>Picea abies</i> (L.) Karst
18	3	화 백	<i>Chamaecyparis pisifera</i> (Sieb. et Zucc.) Endl.
19	2	상 수 리 나 무	<i>Quercus acutissima</i> Carruth
20	2	취 똥 나 무	<i>Ligustrum obtusifolium</i> Sieb. et Zucc.
21	1	산 오 리 나 무	<i>Alnus hiruta</i> (Spach) Rupr.
22	3	사 철 나 무	<i>Enonymus japonica</i> Thunb.
23	1	아 카 시 나 무	<i>Robinia pseudo-acacia</i> L.
24	3	벚 나 무	<i>Prunus sargentii</i> Rehder
25	1	현 사 시	<i>Populus alba</i> × <i>Populus glandulosa</i>
26	3	꽝 나 무	<i>Ligustrum japonicum</i> Thunb.

3. 結果 및 考察

3.1 汚染指標

大氣中 汚染度

植栽時期인 4月에서 調查完了期인 10月까지 7個
月동안 汚染地域內 3個 實驗圃場, 對照地點內 1個

實驗圃場에서 測定한 大氣中의 月別 SO_x 및 F의 濃度는 표 4에서와 같이 大氣污染地域에서 測定한 大氣中 SO_x 濃度가 9月과 10月 測定值는 對照地點보다 낮았으나 4月에서 8月까지는 對照地點에서 測定한 濃度보다 높았고, 4月에서 10月까지의 平均 測定值는 對照地點보다 2倍以上 높은 값을 보여 9, 10月을 除外한 全 調查期間동안 大氣污染地域內 實驗圃場에서 栽培된 樹種들의 生育에 大氣中 SO₂의 影響

Table 3. Analytical method of pollutants in tree leaves and air.

Item	Method	Description
S (leaf)	Sulfur-determinator	Sample $\xrightarrow{\text{V}_2\text{O}_5}$ Determinator
F (leaf)	Electrode	Sample + Na_2CO_3 Soln. \rightarrow Dry & Ignite \rightarrow NaOH Fusion Dissolve in H_2O steam Distillation $\xrightarrow{\text{TISAB}}$ Ion Meter $\text{pH } 5.0 \sim 5.5$
SO_x (air)	Colorimetry (30 days)	SO_x absorbed in K_2CO_3 paper: Color developed with barium chloranil acid \longrightarrow Spectrophotometer at wavelength, 530 nm
F (air)	Lime Treated Filter Paper Technique (30 days)	F absorbed in CaO paper \rightarrow Ignition for 5 hrs at 550°C Dissolve in H_2O $\xrightarrow{\text{HClO}_4}$ Distillation until 200 ml \longrightarrow Distillate + Alizarin complexon, $\text{La}(\text{NO}_3)_2$ \longrightarrow Spectrophotometer at wavelength 620 nm.

Table 4. Variation in ambient concentrations of pollutants of the sites investigated during growth stage.

Pollutants	Site	Apr.	May	June	July	Aug.	Sep.	Oct.	Mean
SO_2 (mg/100 cm ² /day)	P-1	1.14	0.47	0.71	0.78	0.41	0.18	0.29	0.57(2.11)
	P-2	1.08	0.82	0.97	1.15	0.66	0.11	0.23	0.72(2.67)
	P-3	1.29	0.71	0.40	0.75	0.47	0.23	0.24	0.58(2.15)
	Mean	1.17	0.66	0.69	0.89	0.51	0.17	0.25	0.62(2.30)
F ($\mu\text{g}/50 \text{cm}^2/\text{day}$)	Control	0.14	0.16	0.39	0.29	0.23	0.29	0.38	0.27(1.00)
	P-1	14.43	8.06	2.22	7.80	6.64	7.11	2.59	6.98(2.87)
	P-2	36.45	15.40	7.12	12.92	10.31	10.07	6.73	14.14(5.82)
	P-3	44.65	9.81	8.48	16.52	12.46	9.88	4.59	15.20(6.26)
	Mean	31.84	11.09	5.94	12.41	9.80	9.02	4.64	12.11(4.98)
	Control	4.31	1.05	2.43	0.32	4.22	3.27	1.41	2.43(1.00)

P-1, P-2, P-3 : Plot 1, 2 and 3 of pollution site.

Numerals in parentheses are relative values to control (1.00).

이 미칠 수 있다는 것을 보여주었다. 그리고 大氣汚染地域에서 测定한 大氣中 F의 濃度는 4月에서 10月까지 全 調查期間동안 對照地點에서의 测定值보다 높았으며, 平均 测定值의 경우 對照地點보다 5倍 程度 높은 穀을 보여 大氣汚染地域內 實驗圃場에서 供試된 樹種들은 大氣中의 HF의 影響을 받을 수 있다는 것을 보여 주었다. 또한 大氣汚染地域에 供試된 樹種들은 大氣中 SO_2 및 HF의 複合影響을 받고, 특히 이 地域은 弗素排出源들과隣接하였기 때문에 大氣中 HF의 影響을 크게 받을 可能性이 있는 것으로 判斷되었다.

可視的 葉被害指數

5月부터 8月까지 大氣汚染地域內의 實驗圃場에서 調査한 平均 葉被害指數는 표 5에서와 같이 사철나무와 광나무만 葉被害가 發生하지 않고 다른 供試樹種들은 모두 葉被害가 發生하였다. 5月에서 8月까

지의 平均 葉被害指數는 모감주나무 등 15個 樹種에서 5(50%) 以上의 葉被害가 發生하여 그 被害程度가 큰 傾向을 보여 주었으며, 이들중 당단풍, 회화나무, 버지니아소나무, 쥐똥나무 등은 7(70%) 이상의 매우 높은 被害指數를 보였다. 이 結果는 本 調査地域과 同一한 大氣污染物인 SO_2 와 HF가 排出되는 地域에 광나무 등 10個 樹種을 供試한 結果 광나무와 화백의 葉被害度가 他樹種에 비해 적었다는 研究報告(李昌根 등, 1980)와는 비슷한 傾向을 보였으나 HF 및 SO_2 에 의한 被害는 落葉闊葉樹가 적고, 常綠闊葉樹가 크다는 研究結果(松岡義浩, 1970)와는 다른 傾向을 보여 앞으로 檢討해 보아야 할 것으로 判斷된다.

葉中污染物

可視的인 葉被害가 比較的 많이 發生한 一部 樹種(버즘나무, 스트로브잣나무)과 적게 發生하거나 發

Table 5. Variation in index of foliage injury in various tree species at pollution sites.

Species	Index of foliage injury				
	May	June	July	Aug.	Mean
1	6.7	6.0	6.0	6.7	6.4
2	3.0	3.3	4.0	3.7	3.5
3	7.7	7.0	8.0	7.7	7.6
4	7.0	5.7	5.7	5.3	5.9
5	2.3	2.7	2.0	2.7	2.4
6	6.7	6.7	7.7	8.7	7.5
7	2.0	2.3	4.3	5.7	3.6
8	5.7	5.0	5.7	7.3	5.9
9	3.3	4.7	7.3	8.3	5.9
10	3.0	5.0	6.3	7.7	5.5
11	2.0	2.3	3.3	4.0	2.9
12	3.3	3.7	7.0	8.0	5.5
13	6.5	6.4	7.3	9.0	7.3
14	7.7	8.0	8.3	9.0	8.3
15	6.3	7.3	7.0	8.0	7.2
16	5.7	6.0	8.3	9.3	7.3
17	6.0	7.0	8.0	8.3	7.3
18	1.7	1.3	1.0	1.0	1.3
19	4.3	4.3	4.7	5.0	4.6
20	8.0	8.0	7.0	7.7	7.7
21	4.0	4.0	2.0	3.0	3.3
22	0.0	0.0	0.0	0.0	0.0
23	6.0	4.5	4.0	3.5	4.5
24	5.3	6.0	6.3	6.3	6.0
25	2.7	2.0	1.7	2.0	2.1
26	0.0	0.0	0.0	0.0	0.0

生하지 않은一部樹種(자작나무, 화백, 사철나무, 현사시, 광나무)의 葉內 汚染物을 分析한 結果는 표 6에서와 같이 葉內 黃 및 弗素 모두 對照地域보다 大氣汚染地域에서 栽培되는 樹種에서 그 含量이 높은 結果를 보여 大氣汚染地域의 SO₂ 및 HF濃度가 對照地域보다 높다는 것을 反映해 주고 있으며, 특히 大氣汚染地域에서 栽培된 樹種의 弗素含量은 對照地域에서 栽培된 樹種보다 10~20倍程度 높은 傾向을 보였다. 可視的 葉被害가 많이 발생한 벼름나무와 葉被害가 比較的 적게 發生한 현사시는 葉內 黃 및 弗素含量이 對照地域과 大氣汚染地域 모두 他樹種보다 많은 結果를 보여 葉表面이 거칠은 일을 가진 樹種이 그렇지 않은 일을 가진 樹種보다 大氣汚染物을 많이 吸收할 수 있다는 研究報告(Treshow, 1984)와 같이 이들 樹種은 다른 樹種보다 葉表面이 거칠기 때문에 大氣汚染物을 많이 吸收할 수 있는 즉 淨化能力이 큰 樹種인 것으로 判斷되나 그 原因은 앞으로 檢討해 보아야 할 것이다. 그리고 벼름나무와 현사시를 除外한 他供試 樹種中에도 자작나무, 사철나무, 광나무 등은 對照地域에 比해 大氣汚染地域에서 栽培된 나무의 葉內 黃含量이 3倍以上 높았고, 葉內 弗素含量도 15倍以上 높은 結果를 보여 이들 樹種도 比較的大氣汚染 淨化能力이 큰 樹種인 것으로 思料된다. 그리고 針葉樹인 스트로보잣나무와 화백보다는 양벼름나무, 자작나무, 현사시 등의 間葉樹가 葉內 汚染物蓄積量이 많은 結果를 보여 大氣汚染의 影響을 받고 있는 同一地域에 栽培할 경우 針葉樹보다 間葉樹의 葉內 汚染物의蓄積量이 2倍以上 높았다는 研究結果(李昌根 등, 1980)와一致하는 傾向을 보였다.

Table 6. Sulfur and Fluorine contents in leaves and index of foliage injury at pollution sites in 7-tree species.

Pollutants Sites Species	Sulfur in leaves (%)			Fluorine in leaves (ppm)			Foliage injury
	Control	Pollution	P-C (P/C)	Control	Pollution	P-C (P/C)	
4	0.259	0.889	0.630(3.43)	38	665	627(17.50)	5.9
5	0.146	0.440	0.294(3.01)	14	327	313(23.36)	2.4
16	0.154	0.226	0.072(1.47)	17	188	171(11.06)	7.3
18	0.167	0.193	0.026(1.16)	18	171	153(9.50)	1.3
22	0.112	0.407	0.295(3.63)	20	319	299(15.95)	0.0
25	0.241	0.729	0.488(3.03)	34	775	741(22.79)	2.1
26	0.149	0.317	0.168(2.13)	16	207	191(12.94)	0.0

P-C : Pollutant contents of pollution site-those of control site.

(P-C) : Numerals in parentheses are relative values to control (1.00).

Numerals identifying the species are the same as in Table 2.

汚染指標間의 관계

葉分析을實施한 7개樹種의 汚染指標(葉內 黃 및 弗素含量, 可視的葉被害指數)間의 關係는 표 7과 같다. 對照地域에서 栽培된 樹種의 葉內 黃 및 弗素含量과 大氣污染地域에서 栽培된 樹種의 葉內 黃 및 弗素含量間에는 正의 有意相關이 認定되고, 大氣污染地域에서 栽培된 樹種의 葉內 黃含量과 弗素含量間에도 높은 正의 有意相關이 認定되어 大氣污染物이 아주 少量으로 存在할 수 있는 對照地域(非污染地域)에서 汚染物의 吸收能이 큰 樹種은 大氣污染地

域에서도 그吸收能이 크다는 것을 보여 주었으며, 또한 大氣中의 SO₂와 HF는 植物의 잎을 통해 吸收할 때 어느 한種類의 汚染物만 選擇的으로 吸收하지 않는다는 것을 보여 주었다.

그리고 葉內 汚染物含量과 葉被害指數間에는 相關性이 매우 낮은 結果를 보여 同一種類의 植物이나 品種을 大氣污染排出地域內 여러 地點에 分散栽培할 경우 葉內 汚染物의 含量이 높을수록 可視的의 葉被害度가 높아진다는 研究結果들(山添文雄, 1970; 山川味彥 등, 1975; 박원철 등, 1987)과는 다른 傾向을 보였는데 本 實驗의 경우 同一 大氣污染

Table 7. Correlation coefficient among pollution indicators in 7-tree species.

Pollution indicators	Sites	Sulfur in leaves		Fluorine in leaves		Foliage injury	
		Pollution	P-C	Control	Pollution	P-C	
Sulfur in leaves	Control	0.815*	0.724	0.906**	0.836*	0.830*	0.428
	Pollution		0.990**	0.906**	0.913**	0.943**	0.236
	P-C			0.855*	0.919**	0.918**	0.175
Fluorine in leaves	Control				0.914**	0.907**	0.312
	Pollution					0.999**	0.177
	P-C						0.171

* : Significance at the 5% level

** : Significance at the 1% level

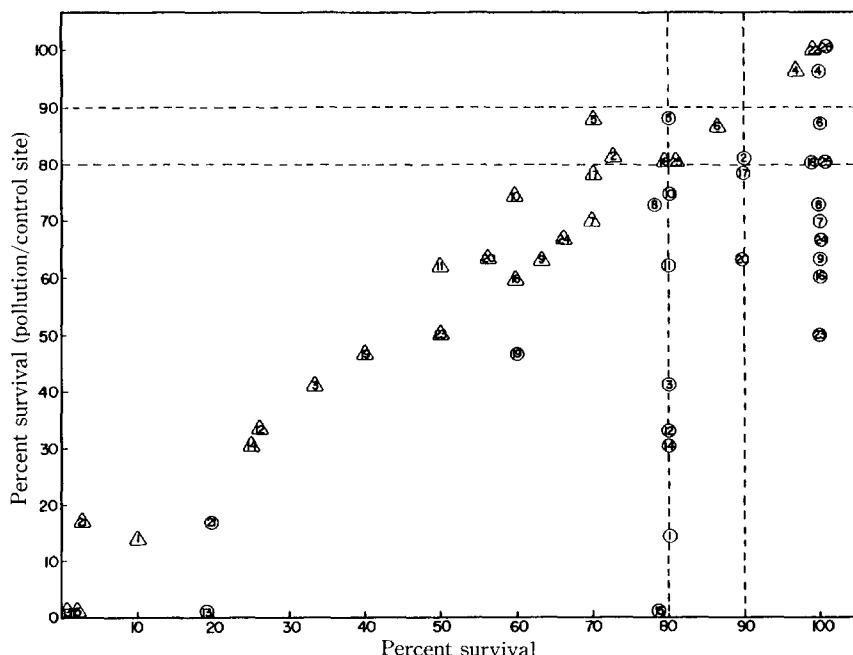


Fig. 1. Variation in percent survival in various tree species at pollution (Δ) and control (\circ) sites. Numeral identifying the species are the same as in Table 2.

排出地域에 樹種을 달리하여 栽培하였기 때문에 樹種別로 吸收된 汚染物을 無毒化 또는 害毒化 機構라는 生理·生化學의 代謝機能의 有無나 代謝速度의 差(Klein et al., 1978; Tanaka and Sugahara, 1980; Threshow, 1984) 때문에 葉內汚染物의 蓄積量이 많을 경우에도 可視的 葉被害程度는 적었던 것으로 判斷되고, 同一樹種中 여러 品種을 利用한 實驗結果 大氣汚染物 吸收量이 많은 樹種이 반드시 可視的 被害가 많이 發生하지 않았다는 研究報告(Fujiyama et al., 1981)와도 一致한다. 그러나 대로 樹種別 大氣汚染에 對한 被害程度를 評價할 때 單純히 葉內에 蓄積된 汚染物의 含量 差異만으로 評價하는 것은 적절치 못한 것으로 判斷되고, 樹林帶造成時에는 葉內汚染物 蓄積量이 많지만 葉被害程度가 적은 樹種을 選定하는 것이 效用적일 것으로 생각되지만 本 實驗에서 葉分析을 實施한 樹種이 7種에 불과하므로 繼續的인 實驗을 통해 좀더 명확히 究明할必要가 있는 것으로 判斷된다.

3.2 活着率 및 生育特性

活着率

10月에 調査된 活着率은 그림 1에서와 같이 大氣

汚染地域에 植栽한 樹種들의 活着率이 對照地域에 植栽한 樹種들의 活着率보다 떨어지는 傾向을 보였으며, 특히 벼지니아소나무와 잣나무의 경우 大氣汚染地域에서 活着이 전혀 되지 않았는데 벼지니아소나무는 對照地域에서의 活着率도 20% 程度이므로 大氣汚染地域에서 活着이 전혀 되지 않은 것은 大氣汚染物의 影響보다 蔚山地域에서의 適應性이 問題가 되기 때문이고, 잣나무는 大氣汚染地域에서의 適應性이 매우 낮은 것으로 料된다.

그리고 對照地域과 對比한 大氣汚染地域에 植栽된 樹種들의 活着率은 모감주나무와 산오리나무는 15% 內外, 일본일갈나무와 리기다소나무는 30% 程度, 당단풍나무는 40% 程度, 아카시아나무, 스트로브잣나무, 쥐똥나무, 족제비싸리와 벗나무 등은 50~60% 程度의 낮은 값을 보였는데, 對照地域에서의 活着率이 20%인 산오리나무를 例外한 다른 樹種들은 大氣汚染物의 影響을 많이 받았기 때문에 活着率이 떨어진 것으로 생각된다. 그러나 자귀나무, 중국굴피나무, 소나무와 독일가문비나무 등은 70~78%, 화백, 현사시, 팽나무, 회화나무와 자작나무 등은 80~87% 程度의 多少 높은 값을 보였으며, 양버즘나무는 97%, 사철나무와 광나무는 100%의 매우 높은 活着率을 보여 이들 3樹種과 對照地域

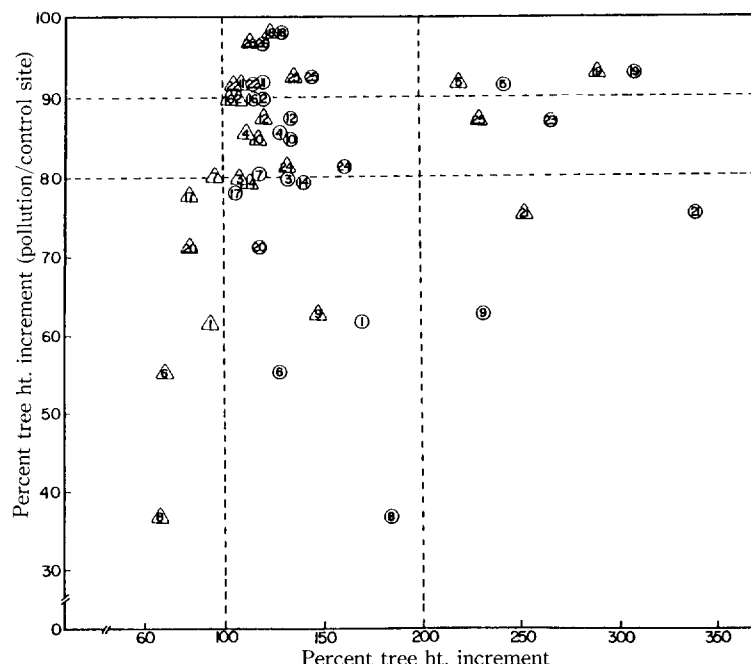


Fig. 2. Variation in percent tree height increment from 5 April 1988 to 15 October 1988 in various tree species at pollution (△) and control (○) sites. Symbols are the same as in Table 2.

對比 大氣污染地域에서 80% 以上의 活着率을 보인樹種中 華백, 현사시, 회화나무 등은 對照地域에서도 100%의 活着率을 보여 活着率만을 考慮한다면蔚山地域에 適應이 可能한樹種인 것으로 생각된다.

稍長

5月과 對比한 10月의 稍長 增加率을 보면 그림 2에서와 같이 對照地點에 供試한 대부분의 樹種에서 100~150%의 增加率을 보였고, 특히 산오리나무, 상수리나무, 아카시나무, 자작나무, 족제비싸리를 등 의 樹種은 200% 以上의 높은 增加率을 보였다. 그리고 大氣污染地域에서의 稍長 增加率도 이들 對照地域에서 높은 增加率을 보인 樹種中 족제비싸리를除外한 다른 4tree種의 경우 높은 稍長伸張度를 보였으며, 다른 供試 樹種들 대부분 100% 以上의 增加率을 보였으나 중국굴피나무, 모감주나무, 자귀나무, 독일가문비나무, 쥐똥나무, 회화나무 등의 樹種은 增加率이 100%에도 미치지 못하여 移植當時보다 稍長이 작은 傾向을 보였다.

對照地域과 對比한 大氣污染地域에서의 稍長의 增加率을 보면 華백, 광나무, 상수리나무, 현사시, 자작나무, 곰솔, 사철나무, 팽나무, 스트로보잣나무 등은 90% 以上의 높은 值을 보였으며, 리기다소

나무, 아카시, 양버즘나무, 소나무, 벚나무, 일본잎갈나무, 자귀나무, 당단풍나무 등을 80% 以上의 值을 보여 大氣污染地域에서의 稍長伸張이 對照地域과 큰 差가 없다는 것을 보여 주었으나 중국굴피나무, 회화나무, 모감주나무, 족제비싸리 등을 增加率이 60% 程度이거나 그 以下의 增加率을 보여 大氣污染物이 이들 樹種의 稍長伸張에 큰 影響을 미친 것으로 判斷된다.

根元徑

5月 調査值를 基準으로 한 10月의 根元徑增加率과 對照地域과 對比한 大氣污染地域에서의 增加率은 그림 3에서와 같다. 對照地域에서의 根元徑增加率은 植栽한 모든 樹種이 100% 以上, 특히 자작나무와 산오리나무는 200% 以上의 높은 增加率을 보였으며, 족제비싸리, 현사시, 소나무, 쥐똥나무, 중국굴피나무, 리기다소나무, 모감주나무, 아카시나무 등은 150% 以上의 增加率을 보였다. 그리고 大氣污染地域에서의 增加도 회화나무를 除外한 植栽한 모든 樹種이 100% 以上이었으며, 특히 자작나무는 200% 以上, 산오리나무, 현사시, 족제비싸리 등을 150% 以上의 높은 增加率을 보였다.

對照地域과 對比한 大氣污染地域에서의 根元徑

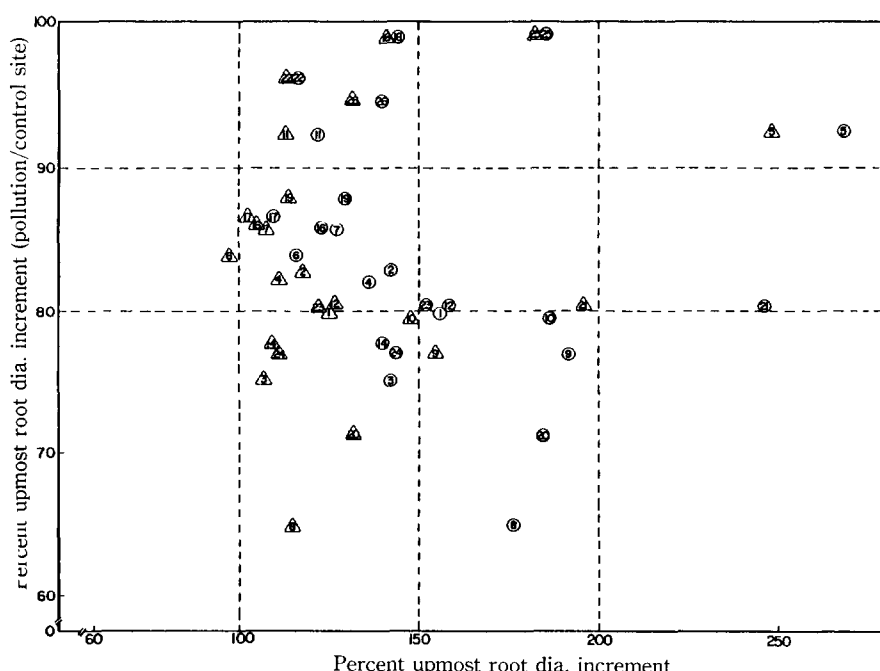


Fig. 3. Variation in percent upmost root diameter increment from 5 April 1988 to 15 October 1988 in various tree species at pollution (Δ) and control (\circ) sites. Symbols are the same as in Table 2.

增加率을 보면 현사시, 화백 등은 거의 100%에 가까운 값을 보였고, 사철나무, 광나무, 자작나무, 곰솔 등의增加率도 90%以上의 값을 보여 이들樹種은 大氣汚染地域에서도 橫的生長은 對照地域과 큰 差異가 없다는 것을 보여 주었다. 그러나 중국굴피나무와 쥐똥나무의增加率은 70%에 가깝거나 그以下の 값을 보여 이들樹種은 大氣汚染의影響으로 主幹의 橫的生長이 많은 影響을 받았던 것으로 料된다.

3.3 調査指標間의 關係

可視的葉被害指數와 活着率 및 生育特性間의 關係

大氣污染物이 植物에 미치는 影響의 重要한 指標로 알려진 可視的葉被害指數(藤原喬, 1975; Fujinuma et al., 1981; 박원철 등, 1987; 신웅배 등, 1989)와 對照地域과 對比한 大氣汚染地域에서의 生存率, 稍長의 增加率 및 根元徑增加率간의 關係는 표 8에서와 같이 可視的葉被害率은 活着率, 稍長 및 根元徑增加率間에 負의 有意相關을 보여 可視的葉被害가 많이 發生하는 樹種일수록 大氣中 HF 및 SO₂의 影響을 많이 받기 때문에 活着率이 떨어지고, 稍長의 伸張과 主幹의 橫的生長이 不良하다는 것을 보여 주었다. 그리고 逆으로 解析하면 活着率이나 稍長 및 根元徑의 增加率은 可視的葉被害指數와의 相關값이 매우 크므로 大氣汚染 影響의 指標로 보다 有用하게 利用할 수 있을 것으로 料된다.

生存率 및 稍長, 根元徑間의 相互關係

對照地域과 對比한 大氣汚染地域에서의 活着率, 稍長 및 根元徑增加率間의 相互關係는 표 8에서와

Table 8. Correlation coefficient among index of foliage injury and various growth characters (n=26).

Factors	% collective characters	% survival	% tree ht. increment	% root dia. increment
Index of foliage index	-0.662**	-0.500**	-0.523**	-0.573**
% survival	—	—	0.273 ^{ns}	0.450*
% tree ht. increment	—	—	—	0.726**

* , ** : Significance at the 5%, 1% levels, respectively

같이 根元徑 增加率은 稍長增加率과 높은 正의 有意相關을 보여주어 主幹의 伸張과 橫的生長간에 密接한 關係가 있다는 것을 보여 주었다. 그리고 根元徑增加率과 活着率間에도 正의 有意相關을 보여주어 活着率이 높은 樹種이 橫的生長도 良好하다는 것을 보여 주었으나 稍長增加率과 活着率間에는 關係의 有意性이 認定되지 않았으므로 主幹의 伸張이 生存率과 큰 關係가 없다는 것을 보여 주었는데 이 結果는 大氣汚染地域에서 調査된 結果이기 때문인 것으로 料된다.

適應樹種 選定

本 實驗에서 調査된 對照地域과 對比한 活着率, 稍長 및 根元徑增加率 등 3因子를 각각 同一한 値으로 考慮한 綜合形質指數 {綜合形質指數=(生存率+稍長增加率+根元徑增加率)·1/3}는 그림 4에서와 같고, 綜合形質指數와 可視的葉被害指數와의 關係는 표 8에서와 같다. 綜合形質指數와 可視的葉被害指數間에는 높은 負의 關係이 認定되어 綜合形質指數도 大氣污染物에 의한 影響評價時에 매우 有用한 指標가 될 수 있다는 것을 보여 주었으므로 供試樹種들의 大氣汚染地域 適應性을 活着率, 稍長 및 根元徑增加率을 각각 分離하여 評價하는 것보다는 이들을 모두 考慮하는 것이 훨씬 有利하다는 判斷下에 綜合形質指數를 樹種들 間에 比較하여 보면 그 指數가 90%以上되는 광나무, 사철나무, 화백, 현사시, 자작나무 등과 90%에 가까운 양버즘나무가 大氣污染物中 HF와 SO₂의複合污染地域에 適應性이 높은 樹種이고, 벼지니아소나무와 잣나무, 모감주나무, 산오리나무, 중국굴피나무 등 그 指數가 50~60%以下인 樹種은 適應性이 매우 낮은 것으로 判斷할 수 있으며, 指數가 70%程度以下인 당단풍나무, 일본잎갈나무, 쥐똥나무, 리기다소나무, 족제비싸리, 아끼시나무 등도 比較的 適應性이 낮은 樹種인 것으로 料된다.

그리고 比較的 適應性이 높은 것으로 判斷된 현사시와 양버즘나무와 같은 樹種은 표 6에서와 같이 大氣污染物의吸收能力이 크기 때문에 본 地域과 같은 HF 및 SO₂複合污染地域에서 大氣污染淨化用樹種으로서의 可能性을 보여 주었으며, 광나무 및 사철나무와 같은 常綠闊葉樹種은 大氣汚染地域에서 可視的葉被害도 發生하지 않고 活着率이나 生育形質의 增加率도 對照地域과 큰 差異가 없으므로 本 調査地域과 同一한 汚染物이 排出되는 地域의 綠化에 適合한 樹種인 것으로 判斷된다. 그러나 광나무와 사철나무는 灌木이기 때문에 大氣污染物의 遮斷效

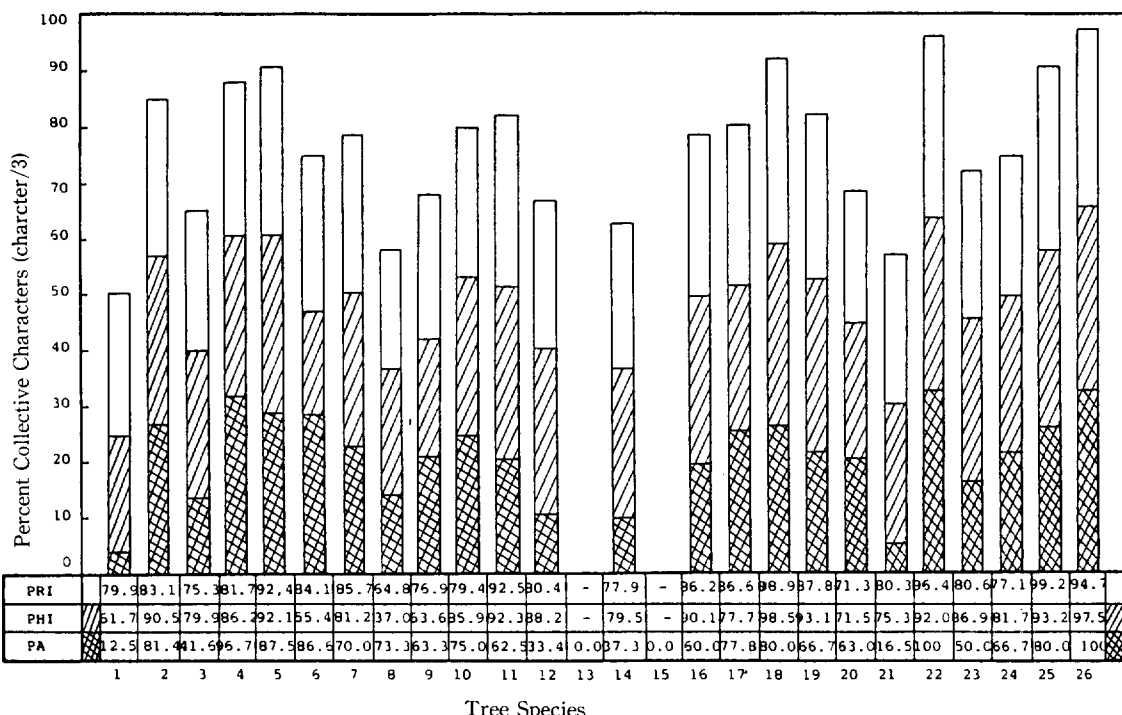


Fig. 4. Variation in percent collective characters and growth characters such as percent survival (PA, ■), percent tree height increment (PHI, ▨) and percent upmost root diameter increment (PRI, □) compared pollution sites with control sites in various tree species. Numerals identifying the species are the same as in Table 2.

果面에서는多少의問題가派生될수있으므로화백,현사사,양버즘나무등喬木性樹種과混栽時には상당한效果를기대할수있을것으로思料된다. 특히HF및SO₂와같이水分에대한溶解度가높은大氣污染物質은植物에吸收가잘되므로(Treshow, 1984)本實驗地域과같이HF및SO₂가排出되는地域에는樹林帶造成을통한大氣污染物質의淨化效果는상당히클것으로기대가되므로適應性樹種의選定에關한研究는더많은樹種을供試하여持續的이고基本的인研究를遂行하여야할必要성이있는것으로생각된다.

4. 結論

各種大氣污染物이 많이排出되고 있는工業團地周邊地域에國內에 많이植栽되고 있는 일부樹種들을供試하여適應性이 높은樹種을選拔, 工業團地地域의 大氣污染度를 줄이기 위한樹林帶造成시 이용할目的으로實驗을 實施한結果를要約하면 다음과 같다.

1. 나무의生育期동안測定한大氣中SO₂ 및 HF의濃度와一部樹種의葉內黃 및 弗素含量은對照地域보다大氣污染地域에서높은傾向을보였고, 특히葉內弗素含量은顯著하게높았다.

2. 大氣污染地域에서調查된樹種別可視的葉被害度를보면광나무와사철나무는可視的인葉被害가전혀發生하지않은반면당단풍,버지니아소나무,잣나무,일본잎갈나무,스트로보잣나무,독일가문비나무,취뚱나무등은매우높은可視的葉被害度를보였다.

3. 大氣污染地域에서測定한葉內黃 및 弗素含量間正의有意相關을보였으나可視的葉被害指數와葉內黃 및 弗素含量間에는相關의有意性이認定되지않았다.

4. 可視的葉被害指數는對照地域과對比한大氣污染地域에서의活着率,稍長 및 根元徑增加率, 이들3形質을綜合的으로고려한값인綜合形質指數와높은負의有意相關이認定되었다.

5.活着率,稍長 및 根元徑增加率 등을考慮한綜合形質指數를利用하여適應樹種을選拔할때그指

수가 90% 이상되는 광나무, 사철나무, 화백, 현사시, 자작나무 등과 지수가 90%에 가까운 양버즘나무와 같은樹種이 大氣中 SO₂ 및 HF가複合의으로排出되는 地域의 植栽用으로 適合한 것으로 判断된다.

参考文獻

- 朴浣澈, 申應倍, 金光鎬(1987) 黃化物 및 弗化物이 水稻生育과 收量에 미치는 影響, 第1報 汚染地域에서의 生育障害 및 收量減少. 韓國環境農學會誌 6(2), 53—65.
- 신웅배, 박완철 등(1989) 울산공업단지지역의 대기오염에 따른 농작물 영향조사 및 기여도 산출에 관한 연구. KAIST 보고서(BS-2I1264-3512-6).
- 李根 등(1980) 大氣污染이 樹木에 미치는 影響에 關한研究. 林業試驗場 研究報告書, 854—867.
- 青木正則, 小川正(1977) 水稻の耐SO₂性とケイ酸質肥料との關係. 電力中央研究所報告 476010, 1—16.
- 松岡義浩(1970) 大氣污染と農作物. 農業および園藝 45(3), 463—467.
- 山添文雄(1970) ぶつ化水素の植物に及ぼす影響について. 公害と對策 6(7), 27—32.
- 山川味彦 等(1975) 溶性りん肥工場周邊におけるぶつ化物濃度について. 大氣汚染研究 10, 449.
- 藤原喬(1975) 低濃度地域二酸化イオウによる植物の障害發現とその珍斷に関する研究. 電力中央研究所報告 74001, 1—12.
- Fujinuma, Y., T. Totsuka and I. Aiga (1981) Inter-clonal variation in response to air pollutants of hybrid poplar trees. Res. Rep. Natl. Inst. Environ. Stud. (Japan) 28, 149—159.
- Hansen, E.D., H.H. Wiebe and W. Thorne (1958) Air pollution with relation to agronomic crops: VII Fluoride uptake from soils. Agronomy J. 50, 565—568.
- Klein, H., H.J. Jager, W. Domes and C.H. Wong (1978) Mechanisms contributing to differential sensitivities of plant to SO₂. Oecologia (Brrl.) 33, 203—208.
- Tanaka, K. and K. Sugahara (1980) Role of superoxide dismutase in defence against SO₂ toxicity and an increase in superoxide dismutase activity with SO₂ fumigation. Plant & Cell Physiol. 21, 601—611.
- Treshow, M. (1984) Air pollution and plant life, John Wiley & Sons, 188, 441 pp.
- Wellburn, A. (1988) Air pollution and acid rain, Longman Scientific & Technical 188 pp.